

## К ТЕОРИИ ЯДЕРНО-ЯДЕРНЫХ ВЗАИМОДЕЙСТВИЙ ПРИ ВЫСОКИХ ЭНЕРГИЯХ

А.С.Пак<sup>1)</sup>, А.В.Тарасов, В.В.Ужинский<sup>2)</sup>

Ч.Цэрэн

В рамках теории многократных столкновений предложен эффективный способ вычисления характеристик широкого класса процессов ядерно-ядерных взаимодействий, независящий от вида ядерной плотности.

Задача нахождения формальной связи между амплитудами ядерно-ядерного рассеяния при высоких энергиях и амплитудами  $f(q)$  NN-рассеяния и характеристиками распределения нуклонов в сталкивающихся ядрах в теории многократного рассеяния сама по себе довольно проста. Однако в разработке простой техники расчета сечений процессов ядерно-ядерных взаимодействий, подобной той, что существует в теории адрон-ядерных взаимодействий, до настоящего времени нет заметного прогресса.

Предлагаемый нами подход состоит в установлении явной функциональной зависимости амплитуды упругого  $AB$ -рассеяния ( $A, B$  — сталкивающиеся ядра) от функций толщины  $T_A(\mathbf{b})$ ,  $T_B(\mathbf{b})$  ядер  $A$  и  $B$  в оптическом пределе по атомным номерам ядер  $A$  и  $B$  и в приближении некоррелированного распределения нуклонов в ядрах. При этом оказывается, что знания функционала  $F\{T_A(\mathbf{b}), T_B(\mathbf{b})\}$  достаточно для вычисления других важных физических характеристик  $AB$ -взаимодействия. В частности поправки к амплитуде  $AB$ -рассеяния, связанные с конечностью атомных номеров ядер  $A$  и  $B$ , поправки, обусловленные корреляциями в распределениях нуклонов в ядрах, амплитуда реакций возбуждения одного из ядер или обоих одновременно, сечение квазиупругого рассеяния и ряд других величин выражаются через функциональные производные от функционала  $F\{T_A, T_B\}$  по функциям толщины  $T_A, T_B$ .

Опишем кратко схему получения явного выражения для функционала  $F\{T_A, T_B\}$ .

<sup>1)</sup> ИФВЭ АН Каз. ССР.

<sup>2)</sup> ИЯФ АН Уз. ССР.

Амплитуда  $AB$ -рассеяния в оптическом по атомному номеру ядра  $A$  пределе имеет вид

$$\Gamma_{AB}(\mathbf{b}) = \frac{1}{2i\pi\rho} \int F_{AB}(\mathbf{q}) \exp(-i\mathbf{q}\mathbf{b}) d\mathbf{q} = \langle [1 - \exp[-\int \Gamma_B(\mathbf{b}-\mathbf{s}, s_B) T_A(\mathbf{s}) d\mathbf{s}]] \rangle. \quad (1)$$

где

$$\Gamma_B(\beta, s_B) = 1 - \prod_{i=1}^B [1 - \gamma(\beta - s_{B_i})], \quad s_B = \{s_{B_i}\}$$

$$\gamma(\mathbf{b}) = \frac{\tilde{\sigma}}{4\pi a_0} \exp - \frac{\mathbf{b}^2}{4a_0}, \quad \tilde{\sigma} = \sigma(1 - ia), \quad a = \frac{\text{Re } f(0)}{\text{Im } f(0)}$$

$a_0$  - параметр наклона амплитуды упругого  $NN$ -рассеяния. Знак  $\langle \rangle$  означает усреднение по волновым функциям ядра  $B$ . Например, для произвольной функции

$$g(s_B): \langle g(s_B) \rangle = \int g(s_B) \left[ \prod_{i=1}^B T_B(s_{B_i}) ds_{B_i} / B \right].$$

Применяя к выражению (1) правило усреднения экспоненты:

$$\langle \exp(x) \rangle = \exp\{ \langle x \rangle + \frac{1}{2!} \langle (x - \langle x \rangle)^2 \rangle + \frac{1}{3!} \langle (x - \langle x \rangle)^3 \rangle + \dots \}$$

переходя к оптическому по атомному номеру ядра  $B$  пределу и считая радиус  $NN$ -рассеяния ( $\sqrt{a_0}$ ) малым по сравнению с  $R_{A,B}$  радиусами ядер  $A$  и  $B$ , для фазовой функции  $\chi(\mathbf{b})$  с точностью до членов порядка  $a_0/R_{A,B}^2$  получим выражение:

$$-\chi(\mathbf{b}) = \ln(1 - \Gamma_{\text{ОПТ}}^{AB}(\mathbf{b})) = \frac{2}{\tilde{\sigma}} \int d\mathbf{s} \{ x [\exp(-y) - 1] +$$

$$+ \frac{x^2}{2!} (y + \frac{1}{2} \epsilon y^2 + \frac{2}{9} \epsilon^2 y^3 + \dots) \exp(-2y) + \frac{1}{3!} x^3 (-y + 3y^2 + \frac{2}{3} \epsilon y^2 + \dots) \times$$

$$\times \exp(-3y) + \dots \} \quad (2)$$

$$\text{где } x = \frac{\tilde{\sigma}}{2} T_A(\mathbf{b}), \quad y = \frac{\tilde{\sigma}}{2} T_B(\mathbf{b} - \mathbf{s}), \quad \epsilon = \frac{\tilde{\sigma}}{16\pi a_0}.$$

Порядок  $n$  величины  $\epsilon$  в (2) определяет число замкнутых петель в диаграммах, графически изображающих величину  $\chi(\mathbf{b})$  (см. рис. 1;  $a$  - диаграмма без замкнутых петель  $\sim \epsilon^0$ ,  $b$  - диаграмма с одной замкнутой петлей  $\sim \epsilon^1$ ). Можно показать, что диаграмма с замкнутыми петлями, имеющие довольно сложную аналитическую структуру, в большинстве случаев, представляющих практический интерес, дают ничтожный вклад в измеряемые величины по сравнению с диаграммами, не содержащими замкнутых петель. В настоящей работе мы ограничимся тем, что приведем выражение для фазовой функции  $\chi(\mathbf{b})$  в приближении,

когда в (2) учитываются лишь члены порядка  $\epsilon^0$  и  $\epsilon^1$ . Результат суммирования ряда (2) может быть записан в виде <sup>1)</sup>:

$$\chi(b) = z(e^u - 1) + u(e^z - 1) - uz + 0(\epsilon^2), \quad (3)$$

где

$$u = xe^{-z}, \quad z = ye^{-u}.$$

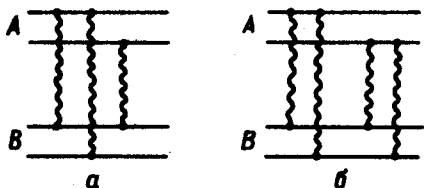


Рис. 1

Имея выражение (3) для фазовой функции, мы можем, как уже говорилось выше, вычислить целый ряд других величин. Так поправки порядка  $1/A$  ( $1/B$ ) к амплитуде упругого  $AB$ -рассеяния даются выражением

$$\delta_{A,B} F = \frac{1}{2A(B)} \int T_{A(B)}(s_1) T_{A(B)}(s_2) \frac{\delta^2 F\{T_A, T_B\}}{\delta T_{A(B)}(s_1) \delta_{A(B)} T(s_2)} ds_1 ds_2. \quad (4)$$

Поправки, обусловленные парными корреляциями нуклонов в ядре-мишене  $A$  имеют вид

$$\delta F = \frac{1}{2} \int C^{(2)}(r_1, r_2) \frac{\delta^2 F\{T_A, T_B\}}{\delta T_A(s_1) \delta T_A(s_2)} ds_1 ds_2 dz_1 dz_2, \quad (5)$$

где  $C^{(2)}(r_1, r_2)$  — корреляционная функция.

Амплитуда возбуждения ядра  $A$  из состояния  $i$  в состояние  $f$  ядром  $B$ , т. е. реакции  $B + A_i \rightarrow B + A_f$ , в приближении одного неупругого соударения имеет вид

$$F_{if} = \int \rho_{if}(r) \frac{\delta F\{T_A, T_B\}}{\delta T_A(s)} ds dz, \quad (6)$$

где  $\rho_{if}(r)$  — так называемая переходная плотность.

Сечение квазиупругого рассеяния ядра  $B$  ядром  $A$  (ядро  $B$  остается в основном состоянии, ядро  $A$  испытывает всевозможные возбуждения, включая развал) дается формулой

$$\frac{d\sigma}{d\Omega} = \sum_{k=1}^A \frac{1}{k!} \int T_A(s_1) \dots T_A(s_k) \left| \frac{\delta^k F(T_A, T_B)}{\delta T_A(s_1) \dots \delta T(s_k)} \right|^2 ds_1 \dots ds_k. \quad (7)$$

<sup>1)</sup> Впервые подынтегральное выражение в (3) в виде разложения в двойной ряд по степеням  $x, y$  было получено Андреевым методом производящей функции [1]1.

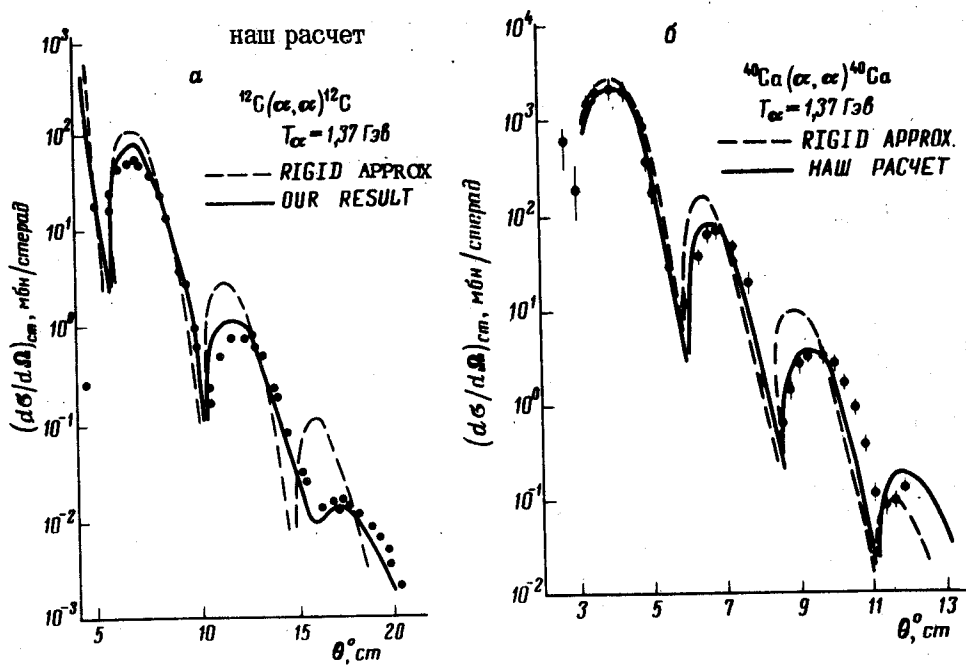


Рис. 2

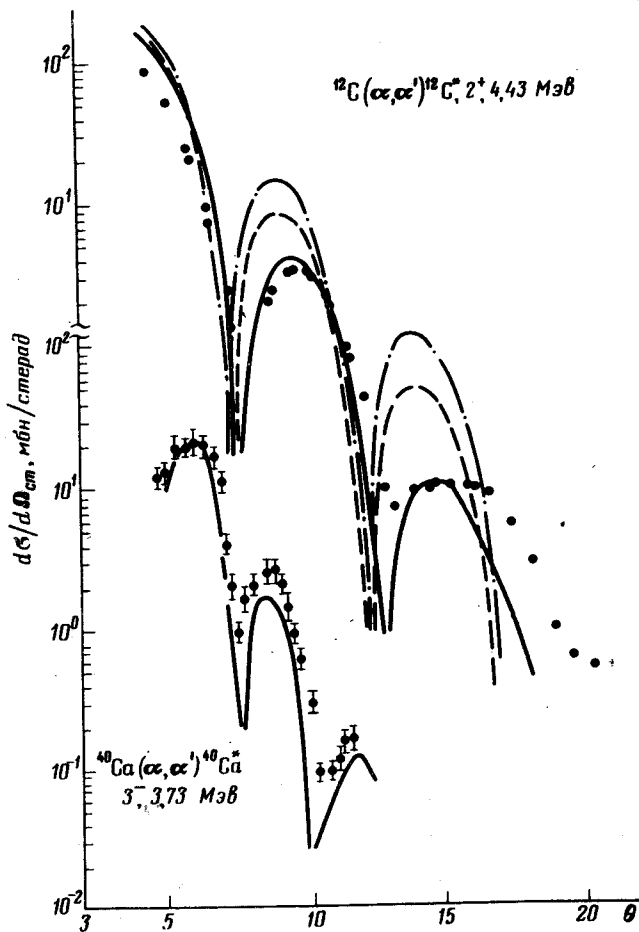


Рис. 3

На рис. 2, и рис. 3 приведены результаты расчета по формулам (3), (4), (6) сечений упругого (кривые —) и неупругого (кривые —) рассеяния  $\alpha$ -частиц на ядрах  $^{12}\text{C}$  и  $^{40}\text{Ca}$ . Волновые функции взаимодействующих ядер рассчитаны в модели гармонического осциллятора. При этом учитывались эффекты, связанные с движением центра масс ядер. Для сравнения приведены результаты расчетов по модели жесткого налетающего ядра [2] (кривая - - -) и по оптической модели работы [3] (кривая - · -). Экспериментальные данные взяты из [4]. Подробный вывод выражения (3) для фазовой функции, а также, детали расчетов и оценки вкладов различных поправочных эффектов будут опубликованы позднее.

Авторы благодарят И.В.Андреева, Л.И.Лapidуса, Л.Н.Струнова за интерес к работе и полезные обсуждения.

Объединенный институт  
ядерных исследований

Поступила в редакцию  
12 июля 1978 г.

### Литература

- [1] I.V.Andreev, P.N.Lebedev. Physical Institute Preprint No. 92, 1976, Moscow.
  - [2] G.D.Alkhazov, T.Bauer et al. Nucl. Phys., A280, 365, 1977.
  - [3] W.Czyz, L.C.Maximon. Ann. Phys., 52, 59, 1969.
  - [4] A.Chaumeaux, G.Bruge et al. Nucl. Phys., A267, 413, 1976.
-